

論 文

라이시안 페이딩 채널에서의 DS/SS 초기 동기 시스템의 성능 분석

正會員 洪 仁 基* 正會員 李 種 星* 正會員 黃 金 燦*

The Performance analysis of DS/SS acquisition system over Rician Fading channels

Een Kee Hong*, Jong Sung Lee*, Keum Chan Whang* Regular Members

*본 논문은 1993년도 한국과학재단 목적기초연구과제 지원에 의하여 수행한 연구임

요 약

본 논문에서는 주파수 비선택적 라이시안 페이딩 채널에서 DS/SS 초기 동기 시스템의 성능을 분석하였다. 채널 과라메터로는 페이딩된 신호 성분대 원하는 신호 성분의 전력비 Γ , 연속적으로 균일하게 페이딩된 칩수 k , 연속된 k 칩 간의 상관관계 ρ 를 이용하였다. 이에 따른 검출기에서의 오보화률과 검출화률을 유도하였고 이를 초기 동기 시스템의 상태 전이도에 적용하여 시스템의 평균 패킷 손실 확률을 구하였다.

분석 결과로부터 페이딩 채널에서 직렬 탐색 알고리즘을 사용한 DS/SS 초기 동기 시스템의 자가상관 사이드로브에 의하여 패킷 손실이 증가하는 대역이 있었으며, 연속적으로 균일한 페이딩을 갖는 칩수 k 가 증가함에 따라 패킷 손실 확률이 감소하였다.

ABSTRACT

In this paper, the performance of DS/SS acquisition system over frequency nonselective Rician fading channel is analyzed by means of packet loss probability. The power ratio of the fading component to the specular component Γ , successive constant fading chips k , and correlation coefficient among k chips ρ are taken for channel parameters.

The false alarm probabilities and detection probabilities are derived, and packet loss probability is evaluated in terms of these probabilities in the state transition diagram.

From the results of the performance test, there exists the region of packet loss probability increase because of autocorrelation sidelobe. As k increases, the packet loss probabilities decrease.

*延世大學校 電氣工學科

Dept. of Electrical Engineering, Yonsei University.

論文番號 : 94 - 4

I. 서 론

최근 수요가 급증하고 있는 이동 부선 통신 환경에서 학정된 주파수 자원을 효율적으로 이용하기 위한 방식으로 직접 서비스 주파수 확산 방식이 연구되고 있다. 이 방식은 각 사용자에게 간접의 영향을 줄여 기위한 상호 저해하는 확산 서비스를 험피하여 사용자 신호간의 상관관계를 최소로 하는 방식이다. 따라서 수신단에서는 받고자 하는 확산 서비스의 주파수 둘기를 맞추는 과정이 중요하다[1][2][3].

코트 동기 과정은 송수신단의 활동된 PN 코드의 상대적인 자연을 없애는데 그 목적이 있다. 동기 과정은 다음 두 가지로 구분한다. 첫째는 헌집 이내로 정렬하는 초기동기(Acquisition)이고, 둘째는 폐회로를 이용하여 수신신호에 부가된 코트와 수신기 내부에서 자체 발생된 PN 코드가 헌집내에서도 최대 상관값을 갖도록 위상을 정확히 일치시키는 동기추적(Tracking) 과정이다[4][5][6].

직접 대역 화살 통신 초기동기 시스템의 성능분석 방법은 검출기의 구조[4][5]와 검출기 구조에 의존하는 탐색 알고리즘[6][7][8]별로는 10년 동안 연구 발전되었다.

연속형 신호인 경우의 분석 방법을 보면 초기동기에 이르는 시간이 짧을 수록 성능이 우수하다는 원칙에서 초기동기에 이르는 시간의 면밀한 수, 또는 평균 초기동기 시간을 구하는 방법이 연구되었다[9][10][11]. Hopkins[10], Ploydoros와 Wober[11]가 초기동기에 이르는 시간의 확률밀도 함수를 얻기 위해 확률 생성 함수($H(p)$)를 이용하는 방법을 제안, 발전시켰으며 Jovanovic[12]가 Pann[13]은 초기동기에 이르는 시간의 확률밀도 함수를 얻기 위한 7 가지화 방법을 제시하였다. 위의 연구된 여러방법은 각각 우사암 채널에서의 성능을 분석하였고, 나중성분에 의한 페이팅 채널에서는 Sourour과 Gupta[14][15]가 초기동기 시스템의 성능을 초기동기 시간에 대응되는 평균과 분산으로 분석하였다.

빼킷 형태의 전송시스템에 대한 가우시안 재분포에서의 초기동기 시스템의 성능분석은 Polydoros와 Weber [11]가 초기동기에 이르는 시간이 일정시간보다 적을 경우의 확률을 구하는 방법을 제시하여 연구 [12][13]가 진행된 바 있다. 빼킷 형태의 성능은 전자부호로 향당된 시간 내에 초기동기가 이루어져야 하므로 빼킷을 입을 확률로 초기동기 시스템의 성능을 분석하는 방법이 제안되었다 [16][17][18]. 이 방법은

가우시안 채널에 적용 가능하며 페이딩 채널의 경우에는 분석이 이루어진 바 없어, 본 논문에서는 이 방법을 페이딩 채널에 적용함으로써 스트링 네이터 전송을 위한 초기화가 시스템의 성능을 분석하고자 한다.

II. DS/SS 초기 동기 시스템

그림 2.1은 초기 동기 시스템의 수신단 구조이다. 수신단 입력 $r(t)$ 는 정합필터 출력단에서 동상 성분과 신호 위상 성분으로 나타난다. 이 정합 필터의 출력단의 글을 풀면 신호파기를 통과시킨 양은 R_m 을 분비함으로 R_N 과 비교하여 물체 진압보다 물 경우에는 수신 신호에 부가된 흐드의 위상과 수신단에서 발생 시킨 흐드의 위상이 일치하는 것으로 판정하고 검출기는 동기 확인을 위한 흐드시민스 과정[11]을 수행한다. 흐드시민스 과정에서는 A 면의 검색중 B 면 이상 위상이 위치하는 것으로 판정되면 검출기는 동기로 판정하게 된다.

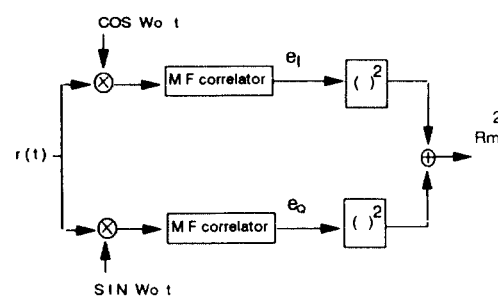


그림 2.1 초기 풍자 시스템
Fig. 2.1 Acquisition system

III. 성능 분석

3.1 수신단 신호

DS SS 송신 신호 $S(t)$ 는 다음과 같다.

$$s(t) = Re \sum_{\omega} \sqrt{2P} a_{\omega}(t + iT_0) e^{-i\omega t} \quad (3.1)$$

식(3.1)에서 P_{d} 는 품질 전략이고, σ_{d}^2 는 품질 주제수이다. 레이팅 세트를 통하여 수신질호 $r(t)$ 는 다음과 같다.

$$r(t) = Rczs(t)e^{j\phi} + f(t) + N(t) \quad (3.2)$$

식(3.2)에서 α 는 감쇄 상수, θ 는 $[0, 2\pi]$ 에서 일정 분포를 갖는 랜덤 변수, $N(t)$ 는 양측 전력 스펙트럼 밀도 $No/2$ 인 AWGN이다. $F(t)$ 는 페이딩된 신호 성분으로, 페이딩 채널에서 매질을 통해 산란된 상현파는 동상성분과 직각위상 성분으로 표시되며, 이 두 신호는 가우시안 랜덤 프로세스 $x_i(t)$ 로 나타낼 수 있다. $F(t)$ 는 식(3.3)과 같이 표시된다.

$$F(t) = R e \sum_{i=1}^k Re[\beta \sqrt{2P} x_{i,k}(t) a_i(t-iT_c) e^{-j\omega_i t}] \quad (3.3)$$

윗식에서 β 는 감쇄 상수, $[i/k]$ 는 i/k 보다 작은 최대 정수 (단, i/k 가 정수이면 $[i/k] = i/k - 1$)이다. 연속된 k 점 동안 페이딩이 일정한 정도 일어났다고 가정 하며 이 값을 칩 수 M 에 대하여 매우 작은 값으로, 이 k 개씩으로 이루어진 칩임은 서로 상관관계를 갖는다[14]. 검출기의 동상성분과 직각위상성분의 출력은 각각 다음과 같다.

$$e_t = S_t + F_t + N_t \quad (3.4a)$$

$$e_\phi = S_\phi + F_\phi + N_\phi \quad (3.4b)$$

S_t, S_ϕ 는 수신단에 입력된 페이딩되지 않은 신호 성분의 검출기 출력을 나타낸 랜덤변수이고, F_t, F_ϕ 는 페이딩된 성분의 랜덤변수, N_t, N_ϕ 는 가우시안 감소의 감출기 출력을 나타낸 랜덤변수이다.

$$\begin{aligned} R_m &= \sqrt{e_t^2 + e_\phi^2} \\ &= \sqrt{(\alpha \sqrt{\frac{P}{2}} T_m \cos \theta + F_t + N_t)^2} \\ &\quad + \sqrt{(\alpha \sqrt{\frac{P}{2}} T_m \sin \theta + F_\phi + N_\phi)^2} \end{aligned} \quad (3.5)$$

여기서 y_m 은 수신된 노드와 수신단에서 발생된 노드의 상관값을 다음과 같이 표시한다.

$$y_m = \int_0^{M T_c} C(\tau T_c) C(\tau T_c + \frac{m}{2} T + \alpha T + (N-1) M T_c) d\tau \quad (3.6)$$

이식에서 M 은 칩수이고, α 는 노드의 옵셋으로 0에서 0.5사이의 값이며 X 는 기준 노드와 입력노드의 차이의 정수부분값이다. y_m 의 평균과 분산값은 패킷이 수신되는 상태에 따라 다음과 같이 결정된다. M 번째 표본의 평균 η_m 과 분산 σ_{ym}^2 는 다음식(3.7)(3.8)과 같

다[17].

$$\eta_m = \begin{cases} 0 & m < 0 \\ M \cdot p & m = kv - 2, kv - 1 \\ m \cdot (1-p) & m = kv, kv + 1 \end{cases} \quad (3.7.a)$$

$$(3.7.b) \quad m = kv - 2, kv - 1 \quad (3.7.c)$$

$$\sigma_{ym}^2 =$$

$$\begin{cases} [2(m/2)+1] \cdot p^2 - 2[m/2] \cdot p + [m/2] & 0 \leq m \leq v-1 \\ M(2p^2 - 2p + 1) & kv \leq m \leq (k+1)v-1 \end{cases} \quad (3.8.a)$$

$$(3.8.b) \quad (M-1) \cdot (1-p)^2 & m = v-2, v-1 \quad (3.8.c)$$

$$M \cdot p^2 & m = kv, kv + 1 \quad (3.8.d)$$

$$(M-1-p)^2 & m = (k+1)v-2, (k+1)v-1 \quad (3.8.e)$$

식(3.8)에서 k 는 양의 정수, $[m/2]$ 는 $m/2$ 의 정수부분이고 $p = a(m)$ 이 짝수인 경우 또는, $p = a + 0.5$ (m 이 홀수인 경우)이며 $v = 2M$ 이다. m 번째 표본이 잡음 전력으로 표준화한 문턱 전압 R_N 을 넘어설 확률은 H_1 경우($1/2$ 칩 이내로 동기가 된 상태)와 H_0 경우($1/2$ 칩 이내로 동기가 되지 못한 상태)에 대한 조건부 확률로 표시된다.

$$P_{m|a} = \begin{cases} \text{Prob}\{R_m > R_N | H_1\} & m \in kv-1, kv \\ \text{Prob}\{R_m > R_N | H_0\} & \text{otherwise} \end{cases} \quad (3.9)$$

3.2 e_t, e_ϕ 의 확률 분포

두 노드의 적분값 y_m 의 각 상태와 H_0, H_1 에 의하여 설정되는 e_t, e_ϕ 는 다음 세 가지의 경우로 구분 한다.

3.2.1 y_m 의 평균이 0, 검출기의 판정이 H_0 인 경우

e_t, e_ϕ 는 가우시안 분포를 갖고 각각 평균은 0이고 분산은 식(3.10)과 같다.

$$N_{ym} = \text{Var}[F_t + N_t] \text{ 또는 } \text{Var}[F_\phi + N_\phi]$$

$$= \sigma_{f,t}^2 + \sigma_n^2 \quad (3.10)$$

F_t 와 F_ϕ 의 분산값은 동상성분과 직각위상 성분 공통으로 H_0, H_1 에 따라 구분하며 다음과 같다[14].

$$\sigma_{f,t}^2 = \frac{\beta^2 T_c^2 W \sigma_s^2}{2} \quad (3.11.a)$$

$$\sigma_{f,\phi}^2 = \frac{\beta^2 T_c^2 W \sigma_s^2}{2} \quad (3.11.b)$$

$$\text{여기서 } W = k^2 \left[1 + \frac{1}{3} \left(\frac{k'}{k} \right)^2 (2 + \rho_{t+1}) + 2 \sum_{j=1}^t \right]$$

$$\begin{aligned} & \left(\frac{M}{k} - j \right) \rho_j + \frac{1}{3} \left[\frac{k'}{k^2} (1 - \rho_{j+1}) \right] \circledast \text{과} \\ & \text{이기서 } I = \left[\frac{M}{k} \right], k' = k \left(\frac{M}{k} - \left[\frac{M}{k} \right] \right), E[x_i(t)] \\ & x_i(t) = \rho_{iI+i} \sigma_i^2 \phi \text{다.} \end{aligned}$$

식(3.10)에 (3.11.a)(3.11.b)를 대입하면 다음과 같다.

$$N_{out} = \frac{\mathbf{x}^T P T_c}{4} \left\{ \frac{2 \beta^2 M \sigma_s^2}{\mathbf{x}^2} \right\} + \frac{N_o M T_c}{4} \quad (3.12)$$

식(3.13)에서 $\frac{2 \beta^2 \sigma_s^2}{\mathbf{x}^2}$ 은 직접 도달한 신호 대 폐어 당 신호의 전력비 Γ 과 ν_m^2 은 접두 신호대 접두비(SNR/chip)로 다음과 같다.

$$\Gamma = \frac{E[x^T \beta x(t)]^2}{E[\mathbf{x}s(t)]^2} = \frac{2 \beta^2 \sigma_s^2 P T_c}{\mathbf{x}^2 P T_c} = \frac{2 \beta^2 \sigma_s^2}{\mathbf{x}^2} \quad (3.13)$$

$$\nu = \frac{\mathbf{x}^T P T_c}{N_o} + \frac{2 \beta^2 \sigma_s^2 P T_c}{N_o} = \frac{\mathbf{x}^T P T_c}{N_o} (1 + \Gamma) \quad (3.14)$$

식(3.12)는 식(3.13), (3.14)로부터 다음과 같다.

$$N_{out} = \frac{N_o M T_c}{4} \left\{ \frac{\Gamma \nu}{1 + \Gamma} + 1 \right\} \quad (3.15)$$

3.2.2 y_m 의 평균이 η_m , 검출기의 판정이 H_0 인 경우
새로운 랜덤변수 \mathbf{y}' 을 도입하면 y_m 은 다음과 같다.

$$y_m = \eta_m + y' \quad (3.16)$$

c_p, c_{p1} 은 각각 다음과 같다.

$$c_p = \mathbf{x} \sqrt{\frac{P}{2}} T \eta_m \cos \theta + \mathbf{x} \sqrt{\frac{P}{2}} T y' \cos \theta + F_t + N_t \quad (3.17.a)$$

$$c_{p1} = \mathbf{x} \sqrt{\frac{P}{2}} T \eta_m \sin \theta + \mathbf{x} \sqrt{\frac{P}{2}} T y' \sin \theta + F_t + N_t \quad (3.17.b)$$

따라서 c_p, c_{p1} 은 각각 다음과 같다.

$$\text{평균} : \mathbf{x} \sqrt{\frac{P}{2}} T \eta_m \cos \theta, \mathbf{x} \sqrt{\frac{P}{2}} T \eta_m \sin \theta \quad (3.18)$$

$$\text{분산} : N_{out} = \text{Var}[\mathbf{x} \sqrt{\frac{P}{2}} T y' \cos \theta + F_t + N_t] \quad (3.19.a)$$

$$N_{out} = \text{Var}[\mathbf{x} \sqrt{\frac{P}{2}} T y' \sin \theta + F_t + N_t] \quad (3.19.b)$$

이때, c_p, c_{p1} 은 분산값이 같지 않고, 랜덤변수 \mathbf{y}' 은 δ 방향으로 포함하고 있어 서로 독립도 아니지만 c_p, c_{p1} 은 서로 각각의 차이 ν_m^2 (17)(18), 분산값은 다음과 같다.

$$\begin{aligned} \text{Var}[c_p] = \text{Var}[c_{p1}] &= \frac{\mathbf{x}^T P T^2 \sigma_{im}^2}{4} + \frac{2 \beta^2 P T^2 M \sigma_s^2}{4} + \frac{N_o M T_c}{4} \\ &= \frac{N_o M T_c}{4} \left\{ \frac{\nu}{(1 + \Gamma) M} \sigma_{im}^2 + \frac{\Gamma \nu}{(1 + \Gamma)} + 1 \right\} \end{aligned} \quad (3.20)$$

즉, 식 $\nu_m^2 \sigma_{im}^2 \mathbf{y}'$ 은 분산이다.

3.2.3 y_m 의 평균이 η_m 이고 검출기의 판정이 H_1 인 경우

c_p, c_{p1} 의 평균은 3.2.2 절에서의 경우와 같은 값으로, 각각 $\mathbf{x} \sqrt{P/2T} \eta_m \cos \theta, \mathbf{x} \sqrt{P/2T} \eta_m \sin \theta$ 이며, 식(3.20)으로부터 분산 N_{out} 은 다음과 같다.

$$N_{out} = \frac{N_o M T_c}{4} \left\{ \frac{\nu}{(1 + \Gamma) M} \sigma_{im}^2 + \frac{\Gamma \nu W}{(1 + \Gamma) M} + 1 \right\} \quad (3.21)$$

3.3 오보 확률 및 검출 확률

m번에 표본이 접두의 ±1과 표준화된 분위 진입 R_{λ} 을 넘을 확률은 주설 기준에 발생하는 오보와 주설 41.5%~54%의 위상차가 ±1 칩 이상인 경우(3.7a)(3.8a)(3.8b)에 따라 구분하여 계산하였다.

3.3.1 위상차가 ±1 칩 이상인 경우의 오보확률

검출 기준에 R_{λ} 의 확률 밀도 함수는 y_m 에 대한 조건부 확률로 표시된다.

$f_{R_{\lambda|m}}(R_{\lambda}|y_m)$ 은 식(3.10)의 분산값을 갖는 라이시인 분포이고, $X_{\lambda|m} = R_{\lambda}/R_{\lambda}$ 라 할 때 $X_{\lambda|m}$ 의 확률 밀도 함수는 다음과 같다.

$$f_{X_{\lambda|m}}(X_{\lambda|m}|y_m) = R_{\lambda} f_{R_{\lambda|m}}(R_{\lambda}|X_{\lambda|m}|y_m) \quad (3.22)$$

식(3.22)로부터 $X_{\lambda|m}$ 의 유색 a에 대한 조건부 확률밀도 함수 $f_{X_{\lambda|m}}(X_{\lambda|m}|a)$ 은 얻는다. 이때 y_m 의 a에 대한 분류 $f_{X_{\lambda|m}}(y_m|a)$ 는 식 (3.7)(3.8)에 의하여 가우시안 분포를 가정한다.

$$\begin{aligned} f_{X_{m|a}}(X_m|a) &= \int_{-\infty}^{\infty} f_{y_m|X_m}(X_m|y_m) f_{y_m}(y_m|a) dy_m \\ &= \frac{R_N^2 X_m}{C\sqrt{E\sigma_{ym}^2+1}} \exp\left\{-\frac{E\sigma_{ym}^2}{2(E\sigma_{ym}^2+1)} - 1\right\} \cdot \frac{R_N^2 X_m^2}{2C} \\ &\cdot L_0\left[\frac{ER_N^2 X_m^2 \sigma_{ym}^2}{4C(E\sigma_{ym}^2+1)}\right] \quad (3.23) \end{aligned}$$

위식으로부터 클락 오차에 대한 오보화률 $P_{m|a}$ 는 다음과 같다.

$$\begin{aligned} P_{m|a} &= K^* \int_{D^*}^{\infty} \exp(-A^* x') L_0[x'] dx' \\ &= K^* \cdot \frac{x^2 + \beta^2}{x^2 - \beta^2} \cdot (1 + Q(x, \beta) - Q(x, \beta)) \quad (3.24) \end{aligned}$$

이 되고 K^*, A^*, D^*, x, β 의 값을 각각 다음과 같다.

$$K^* = \frac{2\sqrt{E\sigma_{ym}^2+1}}{E\sigma_{ym}^2+2} \quad (3.25.a)$$

$$A^* = \frac{E\sigma_{ym}^2}{E\sigma_{ym}^2+2} \quad (3.25.b)$$

$$D^* = \frac{E\sigma_{ym}^2+2}{2(D\sigma_{ym}^2+1)} \cdot (\frac{R_N}{\sqrt{2C}})^2 \quad (3.25.c)$$

$$\begin{cases} x \\ \beta \end{cases} = \frac{\sqrt{2 \cdot D^* + 2.4 \cdot D^*} \pm \sqrt{2 \cdot D^* - 2.4 \cdot D^*}}{2} \quad (3.25.d)$$

3.3.2 위상차가 ±1 칠 이하인 경우의 오보 및 검출률

R_m 에 대한 조건부 합수로 표시되어 y_m 의 확률이 0이 아닌 경우(3.2.2 절, 3.2.3 절)에 해당한다. 식(3.20)의 경우에 대하여 식(3.21)의 경우에는 분산 값 $\bar{N}_{m|a}$ 의 W/M를 포함하면 되므로 식(3.20)으로부터 R_m 의 확률 밀도 함수를 구하기 위한 분산값은 다음과 같다.

$$\bar{N}_{m|a} = \frac{N_m M T_a}{4} \left\{ \frac{\nu}{(1+\Gamma)M} \sigma_{ym}^2 + \frac{\Gamma \nu}{(1+\Gamma)} + 1 \right\} \quad (3.26)$$

$X_m = R_m/R_N$ 인 새로운 랜덤 변수 X_m 을 정하고 이에 대한 확률밀도 합수는 다음과 같다.

$$f_{X_{m|a}}(X_m|y_m) = R_m \cdot f_{R_m}(R_m|X_m|y_m)$$

$$\begin{aligned} &= \frac{R_N^2 X_m}{(1+\Gamma)M} L_0\left[-\frac{\sqrt{2A}\eta_m \cdot R_N X_m}{(1+\Gamma)M}\right] \\ &\cdot \exp\left[-\frac{1}{2} \left(\frac{(R_N X_m)^2 + 2A\eta_m^2}{(1+\Gamma)M}\right)\right] \quad (3.27) \end{aligned}$$

식(3.27)에서 A 는 다음 식으로 정해지는 변수이다.

$$A = \frac{2\nu}{(1+\Gamma)M} \quad (3.28) \text{ 식(3.27)}$$

로부터 이때의 오보 및 검출률은 다음과 같다.

$$P_{m|a} = \int_{D^*}^{\infty} x' I_0[a^* x'] \exp(-a'^2 + x'^2) dx' \quad (3.29)$$

식(3.29)에서 $a^* C^* x'$ 은 각각 다음과 같은 식으로 정해지는 변수이다.

$$a^* = \sqrt{\frac{2.4\eta_m^2}{1+\Phi_m^2}} \quad (3.30.a)$$

$$C^* = \sqrt{\frac{R_N}{1+\Phi_m^2}} \quad (3.30.b)$$

$$x' = \sqrt{\frac{R_N X_m}{1+\Phi_m^2}} \quad (3.30.c)$$

식(3.29)는 다음과 같이 marcum Q 함수를 사용하여 구할 수 있다.

$$P_{m|a} = Q(a^*, C^*) \quad (3.31)$$

3.4 패킷 손실률

비스트형 DS SS 신호 전송인 경우, 초기동기에 필요한 최소의 시간은 전자부호에 해당하므로, 초기동기에 이를 시간이 이 시간내로 제한된다. 그러나 모바일형 DS-SS 초기동기 시스템에서는 전자 부호 내에 동기를 얻지 못하면 패킷을 잃으므로 t상태 친이 모[16][17][18]을 통하여 패킷 손실률을 구하여 시스템의 성능을 분석하였다.

성능을 분석하기 위해 사용한 위상탐색 알고리즘에는 간단한 구조로 고속 동기를 적합하여 널리 사용되는 직렬 탐색 알고리즘을 이용하였다.

1) 탐색 과정 진입 확률

시스템이 패킷도달 이전에 오보에 의해 봉쇄되어 있는 경우 패킷이 도달하면 그 패킷을 잃게 된다. 오보가 발생하면, 시스템이 봉쇄되는 시간은 시스템을

초기화 하는 시간과 그때까지 표본을 얻기위해 강화된 시간의 합이다. $P_{t,i}$ 는 확인 과정에서 오보에 의하여 탐색과정으로 선택을 잘못 했이된 확률로 다음과 같다. 식(3.32)에서 $P_{t,i}$ 는 오보 확률이다.

$$P_t = \sum_{k=0}^A \binom{A}{B} P_{t,i}^k (1-P_{t,i})^{A-k} \quad (3.32)$$

탐색 과정 진입 확률 Π_m 은 식 (3.32)로부터 다음과 같다[16][17][18].

$$\Pi_m =$$

$$\begin{cases} \frac{P_{t,i}}{P_{t,i} + 1/T_{t,i}} \cdot \frac{1}{T_{t,i}} + \frac{1/P_{t,i}}{P_{t,i} + 1/T_{t,i}} \cdot (1 - P_{t,i}) & m = 0 \\ \frac{P_{t,i}}{P_{t,i} + 1/T_{t,i}} \cdot \frac{1}{T_{t,i}} & m \neq 0 \end{cases} \quad (3.33)$$

2) 코드 위상 탐색 확률

$P_t(m)$ 은 m 번째 상태에서 코드의 위상을 탐색한 확률로 $P_t(m-1)$ 의 상태에서 그에 해당하는 위상을 선택 하지않아 $P_t(m)$ 의 상태로 전이된 확률과 시스템 봉쇄가 m 번째 상태에서 해제되어 m 번째에 탐색 과정을 시작한 확률의 합으로 표시된다.

$$P_t(m) = \begin{cases} \Pi_m & m = 0 \\ \Pi_m + P_t(m-1) \cdot (1 - P_{m+1}) & m \neq 0 \end{cases} \quad (3.34)$$

3) 코드위상 선택 확률

P_m 은 m 번째 상태에서 위상을 선택한 확률로, 탐색과정을 수행하여 m 번째 상태에서 경험 펠타의 표본값 R_m 이 문티 진압 R_N 보다 높아, m 번째의 문티 위상을 선택한 확률이다.

P_m 은 탐색 과정을 통하여 초기 동기에 이를 확률이나, 이는 m 번째 상태에 해당하는 코드 위상을 선택하고 2M 시간동안 지연 후의 표본이 나서 문티 진압보다 높은 경우에 해당하며 확인 과정에서는 이를 A번 반복 하여 B번 이상이면 통기로 완성하도록 적용 다음과 같다[16][17][18].

$$P_m = \begin{cases} 0 & 0 < m \leq 2M-2 \\ \sum_{k=0}^{\lfloor \frac{A}{2} \rfloor} \binom{A}{k} P_{t,m+2M-1}^k (1 - P_{t,m+2M-1})^{A-k} & m = 2M-1 \\ \sum_{k=0}^{\lfloor \frac{A}{2} \rfloor} \binom{A}{k} P_{t,m+2M-1}^k (1 - P_{t,m+2M-1})^{A-k} & m = 2M \end{cases} \quad (3.35)$$

$m = 2M-1$ 과 $2M$ 번째의 표본이 확인 과정을 통과해야 초기동기가 이루어 지므로 통기로 이를 확률 $P_{t,2M-1}$ 은 유셋 a에 대한 조건부 확률로 표시된다.

$$P_{t,2M-1} = \sum_{m=2M-1}^{2M} P_{t,m} \cdot P_{m+1} \cdot P_{m+2} \quad (3.36)$$

매 것 손실 확률은 식(3.36)으로부터 다음과 같다.

$$P_t = 1 - 2 \int_0^{R_N} P_{t,2M-1} da \quad (3.37)$$

IV. 결과 및 고찰

본 장에서는 페어링 채널에서의 DS/SS 초기 동기화 시스템의 성능을 침수, k 값, 페어링 신호성분대 페어링되지 않은 신호성분의 진폭 비 Γ , 잡음 전력으로 표준화 한문터 진압 R_N 값과 평균 매 것 손실 확률과의 관계를 분석하였다.

그림 4.1에서 Γ 값을 0.0에서 2.0 사이의 값을 성능 분석에 사용하였으며, 값이 클수록 일관된 환경 임을 의미한다. 침수는 63에서 1023 까지의 값을 사용하였고, k 값은 1에서 5사이의 값을 사용한다. k 값이 1인 경우가 채널의 인장도가 가장 떨어지는 경우이다. 그림 4.1의 (a)(b)에서는 각각 Γ 값이 0.1과 0.5인 경우의 평균 매 것 손실 확률이다. k = 1, 문티 진압 $R_N = 5.5$, 원속된 침수의 상관관계 ρ 는 0.3으로 설정하였다. 그림 4.1에 각 미트당 침수 M의 변화에 따라 차지 매 것 손실 확률을 보이는 신호대 침수비의 영역이 변화됨을 알 수 있다. 침수가 증가함에 따라 차지값은 미소한 감소를 보인다. 따라서 차단된다면 알고리즘에서는 침수를 증가시키는 대상의 성능 향상은 없다. 이를 같은 평균 매 것 손실을 갖는 신호대 침수비는 침수가 증가 하는데 따른 이동만큼 넓어지는데, 침수가 증가하면 처리 이동(Processing Gain)이 증가하게 때문이다. 그림 4.1 (a)에서는 페어링된 신호 성분대 원하는 신호 성분의 비 0.1로 사용 대상적으로 작은 경우이어서 가우시안 채널의 경우 [16][17][18]와 같은 평균 매 것 손실 확률을 보인다. 그림 4.1 (b)는 페어링된 신호 성분대 원하는 신호 성분의 비가 0.5인 경우에 미트당 침수의 변화에 따른 매 것 손실 확률을 보인다. 페어링된 신호 대 원하는 신호의 비 0.1일 때 보다 전체적 성능이 떨어지는데 이는 페어링된 신호 성분이 상대적으로 가깝으

므로 신호의 검출이 어려워졌기 때문이다. 칩수가 커짐에 따라 최저값의 패킷 손실 확률은 작아진다.

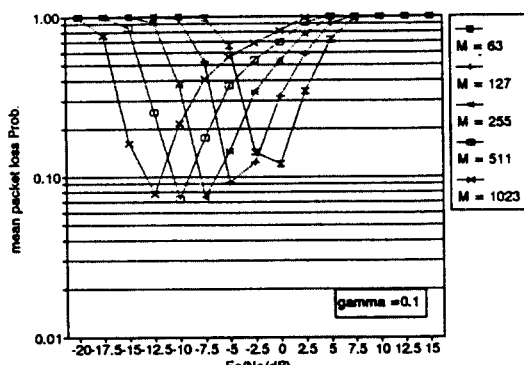
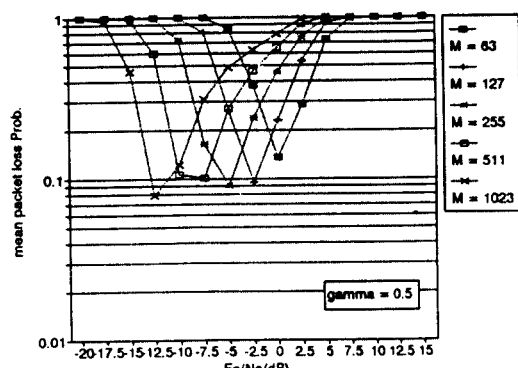
(a) $\Gamma = 0.1$ (b) $\Gamma = 0.5$

그림 4.1 M 값의 변화에 따른 평균 패킷 손실 확률

$$(R_s = 5.5, \rho = 0.3)$$

Fig 4.1 mean packet loss probability under variation of M

서 평균 패킷 손실 확률이 증가하는데 이는 코드의 사이드 로브에 의한 영향 때문이다. 페이딩된 신호대원하는 신호의 비가 커짐에 따라서 최저값이 증가하고 있으며, k 값에 의한 변화가 평균 패킷 손실 확률에 미치는 영향이 커짐을 볼 수 있다. 페이딩된 신호대원하는 신호의 비가 클 경우에는 그림 4.2 (b)와 같이 k 값에 의한 차이를 보이고 있으나, 이 그림에서 사이드 로브의 영향이 나타나는 0 dB 이상의 영역에서는, k 값에 따른 변화를 보이지 않으므로 평균 패킷 손실 확률은 신호대 잡음비가 클 때에는 사이드로브가 주 강장 요인임을 알 수 있다. 그림 4.3은 분티 전압의 크기를 변화 시켜 가면서 얻은 평균 패킷 손실

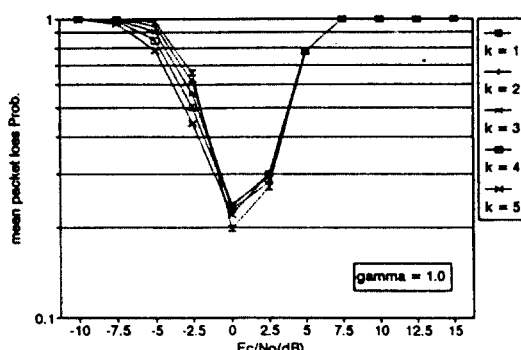
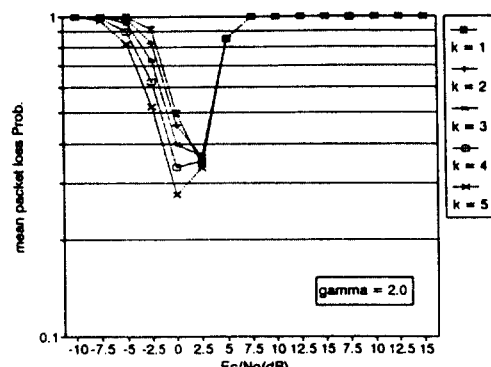
(a) $\Gamma = 1.0$ (b) $\Gamma = 2.0$

그림 4.2 k 값의 변화에 따른 평균 패킷 손실 확률

$$(R_s = 5.5, \rho = 0.3)$$

Fig 4.1 mean packet loss probability under variation of k

그림 4.2 (a)는 페이딩된 신호 대원하는 신호의 비 1.0인 경우에 k 값의 변화가 평균 패킷 손실 확률에 미치는 영향을 보인 것이다. 칩수 63, 분티 전압 크기 R_s 는 5.5, 연속된 칩간의 상관관계 ρ 는 0.3으로 설정하였다. 그림 4.2 (b)는 페이딩된 신호대원하는 신호의 비 2.0인 경우에 k 값의 변화가 평균 패킷 손실 확률에 미치는 영향을 보인 것이다. 신호대 잡음비 0 dB 이상의 영역에서는 신호대 잡음비가 커짐에 따라

화률이다. 그림 4.3 (a)(b)는 각각 페이딩된 신호대 위하는 신호의 비 0.1, 0.5인 경우에 R_N 값을 5.0에서부터 0.5씩 차례로 증가 시켜 가며 얻은 결과이다. 그림 4.3 (a)와 (b)에서 문턱 전압의 변화에 따라 -2.5 dB에서 2.5 dB 사이에서 가장 작은 평균 패킷 손실 화률을 보이는 값이 문턱 전압의 값은 증가 시킴에 따라 신호대 잡음 비가 증가하는 쪽으로 이동된다. 따라서 페이딩 성분 신호대 위하는 신호의 비 0.1인 그림 4.3 (a)의 경우에 문턱 전압은 6.5에서 7.0 사이의 경우로 설정한 경우에 가장 좋은 성능을 보인다. 그림 4.3 (b)의 경우에도 R_N 을 높여 가면 2.5 dB 위치에서 최저값이 나타났다. 사이드로보트의 영향을 순

이기위해 R_N 을 점차로 증가 시켜가면 R_N 이 약 10.0인 경우에서는 평균 패킷 손실 화률이 감소하지만 그 이상의 경우에는 갑작 화률도 문턱 전압의 영향을 받으므로 패킷 손실 화률은 더 이상 계속 감소하지 않는다. 그림 4.4 (a)(b)에 이 결과를 보이고 있다. 그림 4.4 (b)에서 보이는 평균 패킷 손실 화률은 R_N 을 차례로 20, 30, 40, 50, 60으로 변화 시켜 가면 각 인은 패킷 손실 화률이다. 최저값을 보이는 패킷 손실 화률은 0.01과 0.1 사이의 값을 보이고 있으므로 R_N 을 높이 설정하면 낮은 패킷 손실 화률을 보이는 영역이 이동됨을 보이므로 직렬다면 알고리즘을 이용한 조기등기 시스템에서 원정 패킷 손실 화률을 얻기위한 문턱 전압의 조절이 필수적이다.

V. 결 론

본 논문에서는 라이시안 페이딩 재现今에서 DS/SS 조기 등기 시스템의 성능을 분석하였다. 분석 결과 페이딩의 영향을 받지 않은 신호 성분대 페이딩된 성분의 전력비 Γ 가 증가함에 따라 패킷 손실 화률은 감소하는 경향을 보인다. 사상관 사이드로보트에 의하여 패킷 손실 화률이 증가하는 E_c/N_0 대역이 있다. 따라서, 이의 영향을 줄이기 위한 대책으로 E_c/N_0 대역별로 문턱 전압 R_N 을 조절해야 한다. 또한, 접수 M 이 증가함에 따라 차선 단면 알고리즘에서는 최저 패킷 손실을 보이는 대역이 신호대 잡음비가 작은 쪽으로 이동하여 원속적으로 균일한 페이딩을 갖는 접수 k 가 증가함에 따라 패킷 손실 화률이 감소한다.

참 고 문 현

1. D.L.Schilling, R.L.Pickholtz, and L.B.Milstein, "Spread spectrum goes commercial," IEEE Spectrum, pp.40-45, August 1990
2. J.T.Taylor and J.K.Omura, "Spread spectrum technology:a solution to the personal communications services frequency allocation dilemma," IEEE Comm. Mag., Vol.29, No.2, pp. 48-51, Feb. 1991
3. D.G.Smith, "Spread spectrum for wireless phone systems:the subtle interplay between technology and regulation," IEEE Comm. Mag., Vol.29, No.2, pp.44-46, Feb. 1991
4. R.B.Ward, "Acquisition of pseudonoise signals

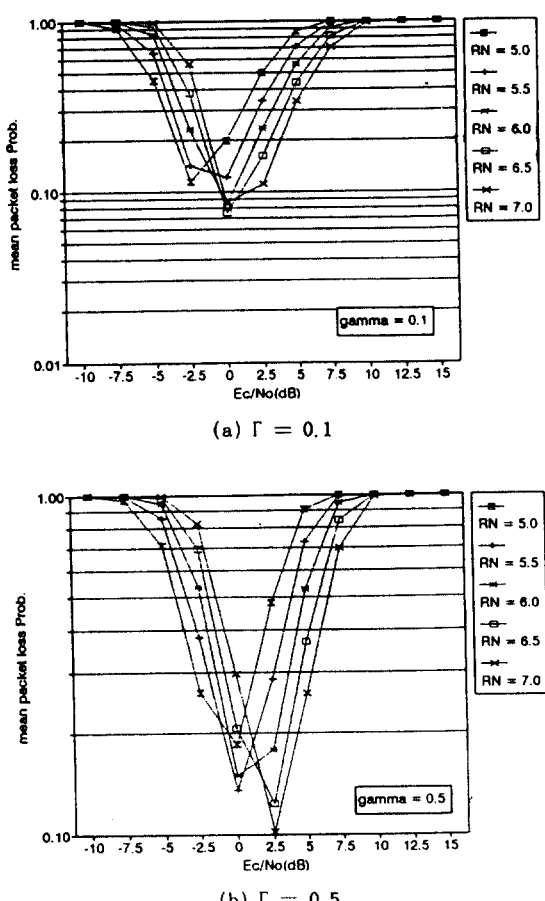


그림 4.1 R_N 값의 변화에 따른 평균 패킷 손실 화률
($k = 4 \mu = 0.3$)

Fig. 4.1 mean packet loss probability under variation of R_N

- by sequential estimation," IEEE Trans. Comm., COM-13, pp.475-483, Dec. 1965
5. R.E.Zimmer and R.L.Peterson, "Digital communications and Spread Spectrum systems," New York : Macmillian Publishing 1985
 6. S.S.Rappaport and D.M.Grieco, "Spread-Spectrum signal acquisition: methods and technology," IEEE Comm. Mag., Vol.22, No.6, pp. 6-21, June 1984
 7. L.B.Milstein, J.Gevargiz, and P.K.Das, "Rapid acquisition for sequence spread-spectrum communications using parallel SAW convolvers," IEEE Trans. Comm., Vol.COM-33, pp.593-560 July 1985.
 8. G.F.Sage, "Serial synchronization of pseudo-noise systems," IEEE Trans. Comm., COM-12, Dec. 1964. pp.123-127.
 9. J.Lattanza, F.G.Herring, P.M.Krencik, and A. F.Clerihew, "240 MHz wide-band programmable SAW matched filter," in Proc. 1983 Ultrason. Symp., 1983, pp.143-150.
 10. P.M. Hopkins, "A unified analysis of pseudo-noise synchronization by envelope correlation," IEEE Trans. Comm., Vol.COM-25, No.8, pp.770-777, Aug. 1977.
 11. Polydoros and C.L. Weber, "A unified approach to serial search spread-spectrum code acquisition," IEEE Trans. Comm., Vol.COM-32, pp.542-560, May 1984
 12. V.M.Jovanovic, "Analysis strategies for serial search spread-spectrum code acquisition di- rect approach," IEEE Trans. Comm., Vol.36, No.11, pp.1208-1220, Nov. 1988.
 13. S.M.Pann, D.E.Dodds, and S.Kumer, "Statistical distribution of PN acquisition time in direct-sequence spread-spectrum receivers," in ICC'89, 1989, pp.950-1000.
 14. Essam A.Sourour and Someshwar C. Gupta, "Direct-Sequence Spread-Spectrum Parallel Acquisition in a Fading Mobile Channel," IEEE Tran. Comm. Vol. 38, No.7, Jul. 1990.
 15. Essam A.Sourour and Someshwar C. Gupta, "Direct-Sequence Spread-Spectrum Parallel Acquisition in a Nonselective Rician Fast Fading Channle," IEEE ICC'89 pp.1629-1633, 1989.
 16. 이동우, 홍인기, 황규찬, "디지털 정합 필터를 이용한 마스토형 직렬탐색 DS-SS 초기동기 시스템의 성능 분석," 한국통신학회 논문지, 16(8), pp. 701-709(1991)
 17. 이동우, 김형근, 황규찬, "아날로그 정합 필터를 이용한 마스토형 직렬탐색 DS-SS 초기동기 시스템의 성능 분석," 한국통신학회 논문지, 16(8), pp.710-718(1991)
 18. 이동우, 김근복, 황규찬, "직렬 최대 공차 탐색을 사용한 마스토형 DS-SS 초기동기 시스템의 성능 분석 수정된 상태 친이도 접근법," 대한 신사공학회 논문지, 제 28권, a판, 제 11호, pp.855-865, 1991년 11월
 19. C.W.Helstrom : Statistical theory of signal detection, Pegamon Press, pp.450, 1968

부록 A 오보 확률

$$\text{평균 } \alpha \sqrt{\frac{s}{2}} T_c y_m \cos\theta, \quad -\alpha \sqrt{\frac{s}{2}} T_c y_m \sin\theta$$

분산 $N_{out} = \sigma_n^2 + \sigma_{R_o}^2$ 은 각각 라이사암 분포와 상호작용 분포인 $f_{k_m \cdot m}(R_m | y_m)$ 에 의해 계산된다.

$$\frac{R_m}{N_{out}} = I_0 \left[\alpha \sqrt{\frac{s}{2}} T_c y_m + \frac{R_m}{N_{out}} \right] \exp \left[-\frac{1}{2} \left(\frac{(R_m + (\alpha \sqrt{s/2} T_c y_m))^2}{N_{out}} \right) \right] \quad (A.1)$$

이식은 라이사암 분포 $\frac{r}{\sigma^2} I_0 \left[\frac{rs}{\sigma^2} \right] \exp \left[-\frac{1}{2} \left(\frac{r^2 + s}{\sigma^2} \right) \right]$ 을 확장할 수 있다. 위 식에서 $s^2 = m_1' + m_2^2$ 으로 각 평균 m_1, m_2 의 합이다. 분위 전위 R_N 은 $(X_m - R_o)/R_N$ 의 세로운 대푯값수 X_m 을 정하면 식 (A.1)은 다음과 같이 바뀐다.

$$f_{X_m | ym}(X_m | ym) = R_N \cdot f_{k_m \cdot m}(R_N + X_m | ym) \cdot \frac{R_N^2 X_m}{N_{out}} = I_0 \left[\alpha \sqrt{\frac{s}{2}} T_c y_m + \frac{R_N X_m}{N_{out}} \right] \cdot \exp \left[-\frac{1}{2} \left(\frac{(R_N X_m)^2 + (\alpha \sqrt{s/2} T_c y_m)^2}{N_{out}} \right) \right] \quad (A.2)$$

위 식(A.2)에서의 분산은 N_{out}, C, I 는 다음과 같이 정해지면 만족된다.

$$N_{out} = \frac{N_o M T_c}{4} \left(1 + \frac{Fv}{1+F} \right) \quad (A.3.a)$$

$$C = 1 + \frac{Fv}{1+F} \quad (A.3.b)$$

$$\sqrt{E} = \frac{\alpha \sqrt{s/2} T_c}{\sqrt{N_{out}}} = \frac{\alpha \sqrt{s/2} \sqrt{T_c} \sqrt{T_c}}{\sqrt{\frac{N_o M T_c}{4} \sqrt{C}}} = \sqrt{\frac{2v}{(1+F)M}} = \sqrt{\frac{2v}{M(1+F+Fv)}} \quad (A.3.c)$$

$$f_{X_m | a}(X_m | a) = \int_{-\infty}^{+\infty} f_{k_m \cdot m}(X_m | y_m) f_{y_m | a}(y_m | a) dy_m \quad (A.4)$$

$$f_{X_m | a}(X_m | a) = \int_{-\infty}^{+\infty} f_{k_m \cdot m}(X_m | y_m) \frac{1}{\sqrt{2\pi\sigma_{ym}^2}} \exp \left[-\frac{y_m^2}{2\sigma_{ym}^2} \right] dy_m \\ = \frac{R_N^2 X_m}{C \sqrt{2\pi\sigma_{ym}^2}} \exp \left[-\frac{1}{2} \left(\frac{R_N^2 X_m^2}{\sqrt{C}} + I \right) \right] \cdot \sqrt{I} \cdot \sqrt{I} \cdot \frac{R_N}{\sqrt{C}} \cdot \exp \left[-\frac{X_m^2}{2\sigma_{ym}^2} \right] \cdot (I\sigma_{ym}^2 + 1)^{-\frac{1}{2}} dy_m \quad (A.5)$$

$$\alpha = \frac{1}{2\sigma_{ym}^2} (I\sigma_{ym}^2 + 1) \quad (A.6.a)$$

$$\beta = \frac{\sqrt{E}}{2} + \frac{R_N}{\sqrt{C}} X_m \quad (\text{A.6.b})$$

식 (A.5)의 적분을 포함하는 항은 다음의 Hyper geometric function [19]를 이용하여 (A.7)와 같이 바꾼다.

$$\begin{aligned} \int_{-\infty}^{\infty} \exp(-\alpha X^2) I_0[2\beta x] dx &= \sqrt{\pi} \alpha^{-\frac{1}{2}} \exp\left(\frac{\beta^2}{\alpha}\right) I_0\left(\frac{\beta^2}{\alpha}\right) \\ &\int_{-\infty}^{\infty} I_0\left[\sqrt{E} y_m \frac{R_N}{\sqrt{C}} X_m\right] \exp\left\{-\frac{y_m^2}{2\sigma_{ym}^2} (E\sigma_{ym}^2 + 1)\right\} dy_m \\ &= \frac{R_N^2 X_m}{C \sqrt{2\pi\sigma_{ym}^2}} \exp\left\{-\frac{1}{2} \left(\frac{R_N}{\sqrt{C}} X_m\right)^2 \sqrt{\pi} + \left[-\frac{1}{2\sigma_{ym}^2} (E\sigma_{ym}^2 + 1)\right]^{\frac{1}{2}}\right\} \\ &\cdot I_0\left[\frac{ER_N^2 X_m^2 \sigma_{ym}^2}{4C(E\sigma_{ym}^2 + 1)}\right] \exp\left\{\frac{ER_N^2 X_m^2 \sigma_{ym}^2}{4C(E\sigma_{ym}^2 + 1)}\right\} \quad (\text{A.7}) \end{aligned}$$

$$= \frac{R_N^2 X_m}{C \sqrt{E\sigma_{ym}^2 + 1}} \exp\left\{\left(\frac{E\sigma_{ym}^2}{2(E\sigma_{ym}^2 + 1)} - 1\right) + \frac{R_N^2 E\sigma_{ym}^2}{2C} + I_0\left[\frac{ER_N^2 X_m^2 \sigma_{ym}^2}{4C(E\sigma_{ym}^2 + 1)}\right]\right\} \quad (\text{A.8})$$

부록 B 오보 및 검출 확률

분산 \bar{N}_{out} 은 다음과 같다.

$$\bar{N}_{out} = \frac{N_o M T_c}{4} + \left\{ \frac{v}{(1+\Gamma)M} \sigma_{ym}^2 + \frac{\Gamma v}{(1+\Gamma)M} + 1 \right\} \quad (\text{B.1})$$

이식에서 $\frac{v}{(1+\Gamma)M} \sigma_{ym}^2 + \frac{\Gamma v}{(1+\Gamma)M} = \Phi_m^2$ 인 경우 $\bar{N}_{out} = \Phi_m^2 + 1$ 이다.

$f_{R_m|ym}(R_m | y_m)$ 은

$$= \frac{R_m}{\bar{N}_{out}} I_0\left[\alpha \sqrt{\frac{s}{2}} T_c \eta_m + \frac{R_m}{\bar{N}_{out}}\right] \exp\left[-\frac{1}{2} \left(\frac{R_m^2 + (\alpha \sqrt{s/2} T_c \eta_m)^2}{\bar{N}_{out}}\right)\right] \quad (\text{B.2})$$

식(B.2)는 라이선스 품질 $= \frac{v}{\sigma^2} I_0\left[\frac{rs}{\sigma^2}\right] \exp\left[-\frac{1}{2} \left(\frac{r^2 + s^2}{\sigma^2}\right)\right]$ 을 갖는다. 이 식에서 $s^2 = m_1^2 + m_2^2$ 으로 각각 m_1, m_2 의 제곱의 합이다. 분류 임계 R_{th} 은 정하고 $X_m = R_m/R_{th}$ 인 새로운 랜덤 변수 X_m 은 정하여 식 (B.2)는

$$\begin{aligned} f_{X_m|ym}(X_m | y_m) &= R_{th} \cdot f_{R_m|ym}(R_{th} + X_m | y_m) \\ &= \frac{R_{th}^2 X_m}{\bar{N}_{out}} I_0\left[\alpha \sqrt{\frac{s}{2}} T_c \eta_m + \frac{R_{th}^2 X_m}{\bar{N}_{out}}\right] \exp\left[-\frac{1}{2} \left(\frac{(R_{th} X_m)^2 + (\alpha \sqrt{s/2} T_c \eta_m)^2}{\bar{N}_{out}}\right)\right] \quad (\text{B.3}) \end{aligned}$$

$$= \frac{R_{th}^2 X_m}{\frac{N_o M T_c}{4} (\Phi_m^2 + 1)} I_0 \left[-\frac{\alpha \sqrt{s/2} T_c \eta_m \cdot R_{th} X_m}{\frac{N_o M T_c}{4} (\Phi_m^2 + 1)} \right] + \exp \left[-\frac{1}{2} \left(\frac{(R_{th} X_m)^2 + (\alpha \sqrt{s/2} T_c \eta_m)^2}{\frac{N_o M T_c}{4} (\Phi_m^2 + 1)} \right) \right] \quad (B.4)$$

$$= \frac{R_{th}^2 X_m}{(\Phi_m^2 + 1)} I_0 \left[-\frac{\alpha \sqrt{s/2} T_c \eta_m \cdot R_{th} X_m}{\sqrt{N_{out}} (\Phi_m^2 + 1)} \right] + \exp \left[-\frac{1}{2} \left(\frac{(R_{th} X_m)^2 + 2.4 \eta_m^2}{\Phi_m^2 + 1} \right) \right] \quad (B.5)$$

○) 식에서 $A = \frac{\alpha \sqrt{s/2} T_c}{\sqrt{N_{out}}} = \frac{\alpha \sqrt{s/2} T_c}{\sqrt{N_o M T_c}}$ 일치화 하면 식 (B.5)은

$$\frac{R_{th}^2 X_m}{(\Phi_m^2 + 1)} I_0 \left[-\frac{\sqrt{2.4} \eta_m \cdot R_{th} X_m}{(\Phi_m^2 + 1)} \right] + \exp \left[-\frac{1}{2} \left(\frac{(R_{th} X_m)^2 + 2.4 \eta_m^2}{\Phi_m^2 + 1} \right) \right] \quad (B.6)$$



洪仁基(Een Kee Hong) 正會員

1989년 2월 : 연세대학교 전기공학
과 졸업(공학사)

1991년 2월 : 연세대학교 전기공학
과 대학원(공학석사)

1991년 3월 ~ 현재 : 연세대학교 전
기공학과 박사과정

※주관심분야 : Spread Spectrum
통신, 이동무선통신,
체널코딩 등

李程星(Jong Sung Lee) 正會員

1991년 2월 : 연세대학교 전기공학과 졸업(공학사)

1993년 2월 : 연세대학교 전기공학과 대학원(공학석사)

1993년 3월 ~ 현재 : 삼성전자 마이크로 사업부 연구원



黃金燦(Keum Chan Whang) 正會員

1944년 7월 18일 생

1967년 2월 : 延世大學校 電氣工學
科 卒業(工學士)

1975년 6월 : 미국 Polytechnique
Institute of New York
大學院(工學碩士)

1979년 6월 : 미국 Polytechnique
Institute of New York
大學院(工學博士)

1979년 6월 ~ 1980년 9월 : 大田機械倉 先任研究員

1980년 9월 ~ 현재 : 延世大學校 電氣工學科 教授